

Fig. 29 Vergleich der Energieniveaus in verschiedenen Potentialen

Tab. 4 Einige vollständige Eigenfunktionen des Wasserstoffatoms.

Quantenzahlen			Eigenfunktionen $\psi_{n\ell m}(r, \vartheta, \varphi)$
n	ℓ	m	
1	0	0	$\psi_{100} = \frac{1}{\sqrt{\pi}} \left(\frac{Z}{a_0}\right)^{3/2} e^{-Zr/a_0}$
2	0	0	$\psi_{200} = \frac{1}{4\sqrt{2\pi}} \left(\frac{Z}{a_0}\right)^{3/2} \left(2 - \frac{Zr}{a_0}\right) e^{-Zr/2a_0}$
2	1	0	$\psi_{210} = \frac{1}{4\sqrt{2\pi}} \left(\frac{Z}{a_0}\right)^{3/2} \frac{Zr}{a_0} e^{-Zr/2a_0} \cos \vartheta$
2	1	± 1	$\psi_{21\pm 1} = \frac{1}{8\sqrt{\pi}} \left(\frac{Z}{a_0}\right)^{3/2} \frac{Zr}{a_0} e^{-Zr/2a_0} \sin \vartheta e^{\pm i\varphi}$
3	0	0	$\psi_{300} = \frac{1}{81\sqrt{3\pi}} \left(\frac{Z}{a_0}\right)^{3/2} \left(27 - 18 \frac{Zr}{a_0} + 2 \frac{Z^2 r^2}{a_0^2}\right) e^{-Zr/3a_0}$
3	1	0	$\psi_{310} = \frac{\sqrt{2}}{81\sqrt{\pi}} \left(\frac{Z}{a_0}\right)^{3/2} \left(6 - \frac{Zr}{a_0}\right) \frac{Zr}{a_0} e^{-Zr/3a_0} \cos \vartheta$
3	1	± 1	$\psi_{31\pm 1} = \frac{1}{81\sqrt{\pi}} \left(\frac{Z}{a_0}\right)^{3/2} \left(6 - \frac{Zr}{a_0}\right) \frac{Zr}{a_0} e^{-Zr/3a_0} \sin \vartheta e^{\pm i\varphi}$
3	2	0	$\psi_{320} = \frac{1}{81\sqrt{6\pi}} \left(\frac{Z}{a_0}\right)^{3/2} \frac{Z^2 r^2}{a_0^2} e^{-Zr/3a_0} (3 \cos^2 \vartheta - 1)$
3	2	± 1	$\psi_{32\pm 1} = \frac{1}{81\sqrt{\pi}} \left(\frac{Z}{a_0}\right)^{3/2} \frac{Z^2 r^2}{a_0^2} e^{-Zr/3a_0} \sin \vartheta \cos \vartheta e^{\pm i\varphi}$
3	2	± 2	$\psi_{32\pm 2} = \frac{1}{162\sqrt{\pi}} \left(\frac{Z}{a_0}\right)^{3/2} \frac{Z^2 r^2}{a_0^2} e^{-Zr/3a_0} \sin^2 \vartheta e^{\pm 2i\varphi}$

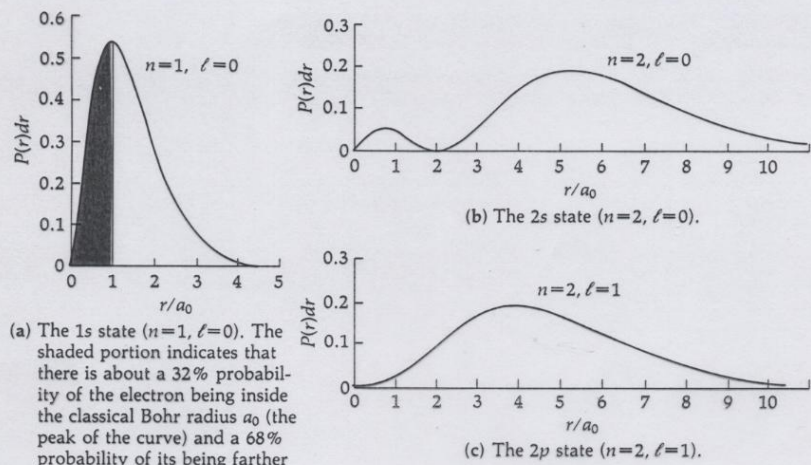


FIGURE 44-8

The radial probability density function $P(r)$ for the three lowest states of hydrogen.

$P(r)$, for the $1s$ state of hydrogen. As shown in Example 44-4, the maximum of the curve in Figure 44-8a occurs at $r = a_0 = 0.0529$ nm (the Bohr $n=1$ radius). The shaded portion is 32.3% of the total area under the curve, indicating that during this fraction of its time, the electron is closer to the nucleus than the Bohr radius.

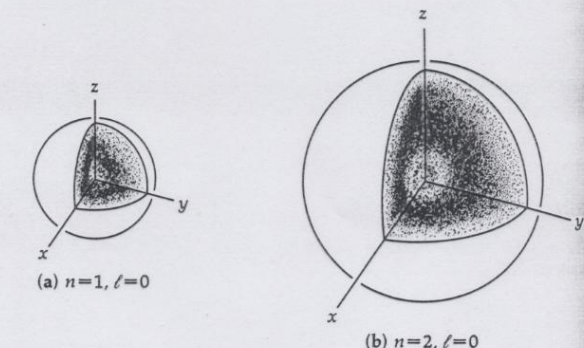


FIGURE 44-9

One way of representing the probability density for the $1s$, $2s$, and $2p$ states of the hydrogen atom. (We have drawn rather artificial boundaries to the distributions; the probability of finding an electron outside the boundary of a cloud is less than about 10%.) In each case, the nucleus is at the coordinate origin. The greater the cloud density, the greater the probability of finding the electron in that region.

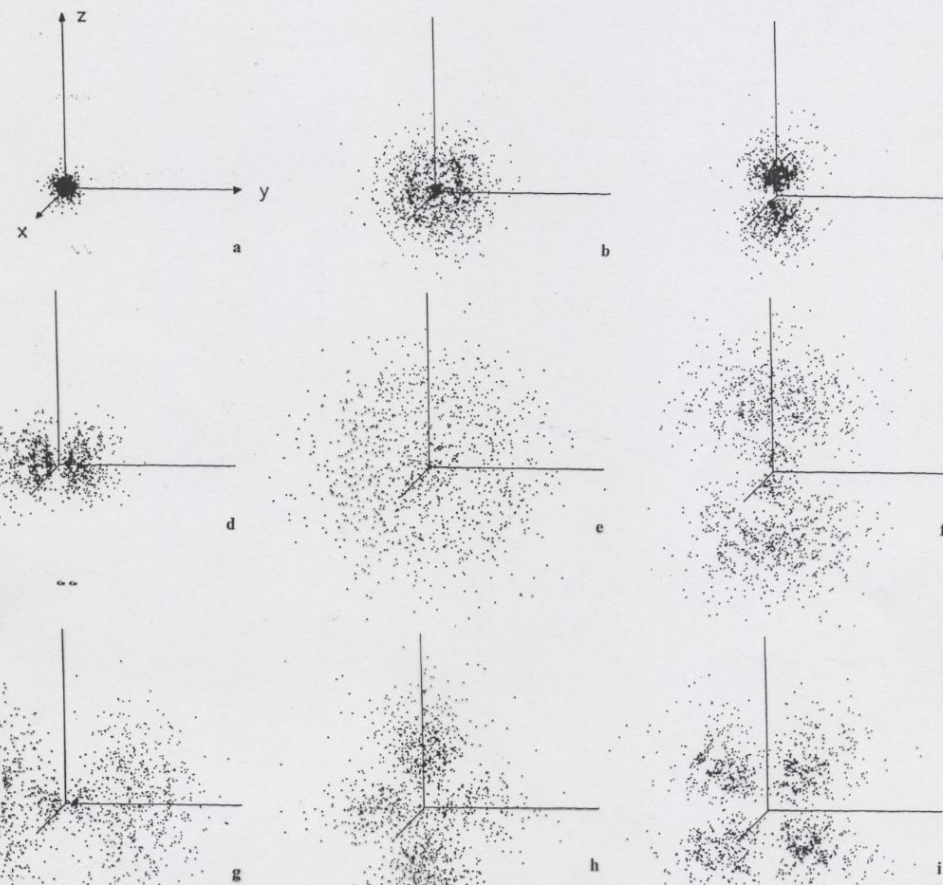


Abb. 10.4a-i. Die DichteVerteilung (=Aufenthaltswahrscheinlichkeitsdichte $|\psi|^2$) des Elektrons im H-Atom, dargestellt durch verschiedene starke Punktierung (nach H. Ohno). Hierbei liegen die folgenden Wellenfunktionen zugrunde:

- a) (10.82), $n=1, l=0, m=0$
- b) (10.82), $n=2, l=0, m=0$
- c) (10.82), $n=2, l=1, m=0$
- d) die Linearkombination $(\psi_{2,1,+} + \psi_{2,1,-}) \frac{i}{\sqrt{2}}$

e) (10.82), $n=3, l=0, m=0$

f) $\psi_{3,1,0}$

g) die Linearkombination $(\psi_{3,1,+} + \psi_{3,1,-}) \frac{i}{\sqrt{2}}$

h) $\psi_{3,2,0}$

i) die Linearkombination $(\psi_{3,2,+} + \psi_{3,2,-}) \frac{i}{\sqrt{2}}$

Die genannten Linearkombinationen sind ebenfalls Lösungen der Schrödinger-Gleichung des Wasserstoffproblems mit den Energien E_n , sie sind jedoch nicht mehr Eigenfunktionen zu l_z .

Ergebnis: unabhängig von $V(r)$
hat als Voraussetzung:

- Wellen
- Quadratintegrierbar
- Eindeutigkeit
- Kugelsymmetrie.

7.2 Energiezustände der Wasserstoff- atoms

$$\frac{d^2 u}{dr^2} + \frac{2m}{\hbar^2} \left(E_m + \frac{e^2}{4\pi\epsilon_0 r} - \frac{\ell(\ell+1)\hbar^2}{2mr^2} \right) u = 0$$

Ausatz: $u_{n,\ell}(r) = r^{\ell+1} \cdot e^{-r/a_{\text{Bohr}}} G_n^{\ell}(r)$

[wobei $a_{\text{Bohr}} = \frac{\hbar^2 \cdot 4\pi\epsilon_0}{e^2 m}$ Bohrsches Radius]

& Polynom mit n Elementen

Für $n \rightarrow \infty$: $\frac{d^2 u}{dr^2} + \frac{2m}{\hbar^2} E_m \cdot u = 0$

$$\Rightarrow u(r) = A \cdot e^{-r/a_{\text{Bohr}}}$$

$$E_n = -\frac{me^4}{2\hbar^2 (4\pi\epsilon_0)^2} \cdot \frac{1}{n^2}$$

$$\text{Für } n \rightarrow 0 \quad \frac{d^2 u}{dn^2} - \frac{\ell(\ell+1)}{n^2} u = 0$$

$$\Rightarrow u(n) = B \cdot n^{\ell+1}$$

Generell:

$$R_{me}(n) = \sqrt{\frac{(n-\ell-e)!}{2n((n+\ell)!)^2}} \left(\frac{z}{n \cdot a_0}\right)^{\frac{n}{2}} \left(\frac{z n}{n a_0}\right)^{\ell} \cdot e^{-\frac{z}{n a_0}} \cdot \underbrace{\left[\frac{z^{\ell+1}}{n^{\ell+1}} \left(\frac{z n}{n a_0}\right)\right]}_{m+e}$$

Zugeordnete Legendre-Polygone

Zusammenfassung:

$$\Psi_{n\ell m} (N, \theta, \phi) = R_{n\ell}(r) \cdot Y_{\ell m}(\theta, \phi)$$

$$n = 1, 2, \dots$$

$$\ell = 0, 1, \dots n-1$$

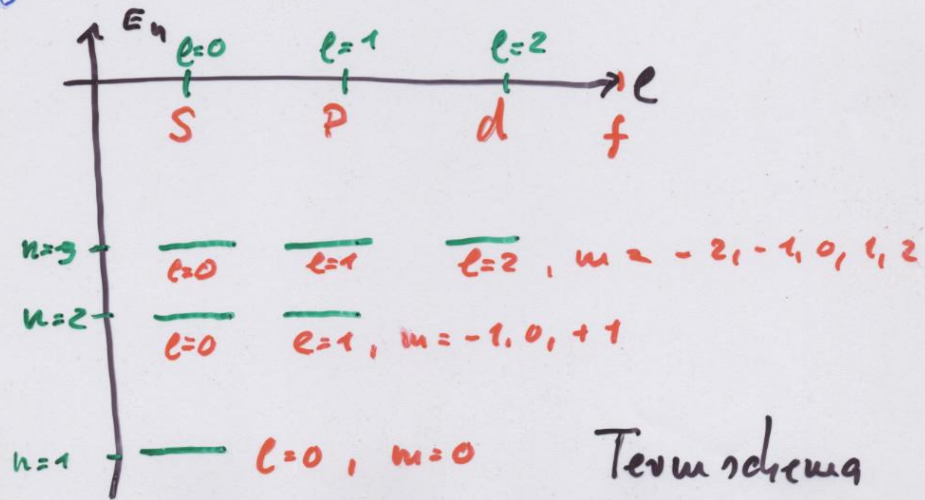
$$m = -\ell, -\ell+1, \dots 0, 1, \dots +\ell$$

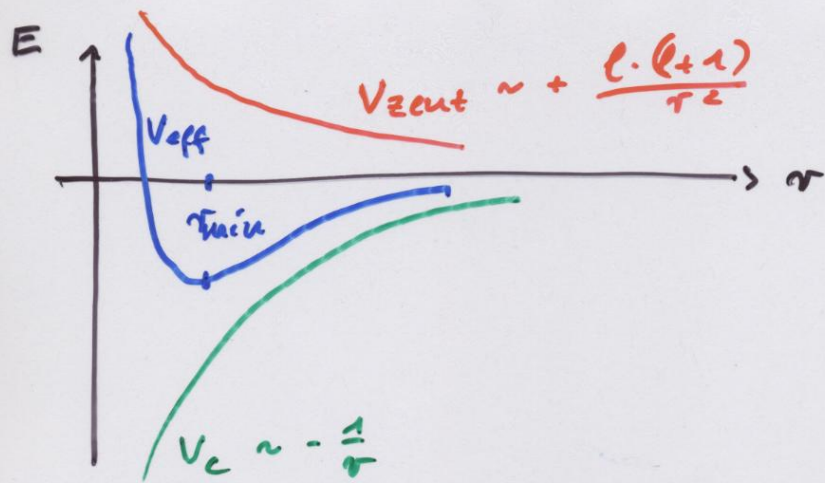
zu jeder Hauptquantenzahl n gibt es

$$\sum_{\ell=0}^{n-1} (2\ell+1) = n^2 \text{ Wellenfunktionen}$$

$$E_n = -\frac{me^4}{2\epsilon^2(4\pi\epsilon_0)^2} \cdot \frac{1}{n^2} : \text{für } n^2 \text{ verschiedene Zustände!}$$

\Leftrightarrow System ist erfasst.





$$r_{\min} = \ell(\ell+1) \frac{e^2 \hbar^2 \pi \epsilon_0}{e^2 m}$$

7.3. Bahn- und Spin-Magnetismus

7.3.1 Klassisch

Elektron auf Kreisbahn:

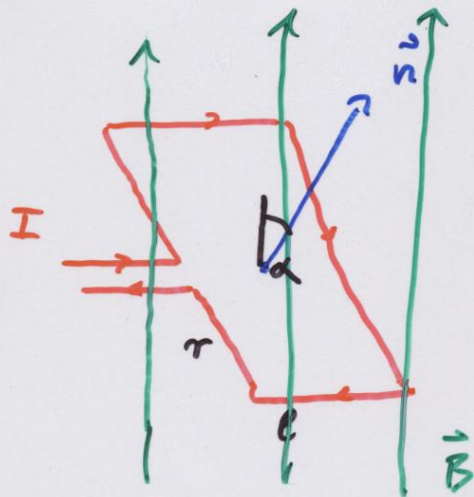
Kreisstrom \Rightarrow Mag. Moment

a) Magnet. Moment

$$\vec{\mu} := I \cdot A \cdot \hat{n} \quad [\text{Am}^2]$$

$$(\vec{\mu} = \frac{1}{c} IA\hat{n} \text{ im Gaußschen System})$$

↑ Flächenannahme



$$A = 2n \cdot l$$

(i) Schleife erhält Drehmoment:

$$\vec{D} = 2\vec{\alpha} \times \vec{F} = 2\vec{\alpha} \times q \cdot \vec{v} \times \vec{B}$$

Für $\alpha = 90^\circ$:

$$\begin{aligned} D &= 2\pi l \cdot B \cdot \frac{qv}{c} = A \cdot I \cdot B \\ &= \mu \cdot B \end{aligned}$$

$$\vec{D} = \vec{\mu} \times \vec{B}$$

(ii) Energie:

$$\begin{aligned} V_{magu} &= \int_{\pi/2}^{\alpha} D d\alpha = -\mu \cdot B \cdot \cos \alpha \\ &= \vec{\mu} \cdot \vec{B} \end{aligned}$$

* 1 Elektron im Atom

$$I = \frac{q}{T} = -\frac{e\omega}{2\pi}$$

$$\mu = A \cdot I = -\frac{e\omega}{2\pi} A$$

$$\downarrow \frac{1}{n^2}$$

$$l = m \cdot v \cdot r = m \omega n^2$$

$$\Rightarrow \mu = -\frac{1}{2} e \omega n^2 \boxed{\mu = -\frac{e}{2m} \vec{l}}$$

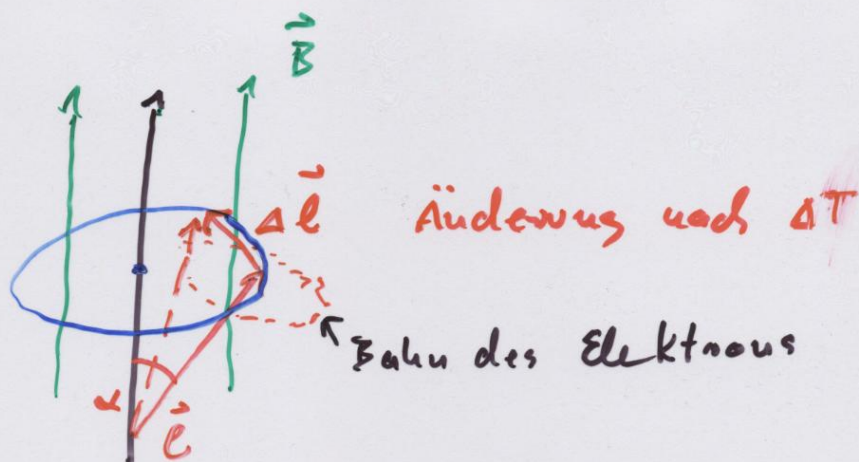
$$\begin{aligned} \mu_B &= \frac{e}{2m} \vec{l} = 9,27 \cdot 10^{-24} \text{ Am}^2 \\ &= 0,58 \cdot 10^{-4} \frac{\text{eV}}{\text{T}} \end{aligned}$$

Bohrsches Magnetron

b) Präzession im Magnetfeld

Drehmoment \Rightarrow Präzession (Analog zum Kreisel)

$$\vec{D} = \vec{\mu} \times \vec{B} = \frac{d\vec{l}}{dt}$$



$$|\Delta \vec{l}| = |\vec{l}| \cdot \sin \alpha \cdot \omega_L \cdot \Delta T$$

$$\Rightarrow \frac{d\vec{l}}{dt} = \vec{l} \cdot \omega_L \sin \alpha \\ = \mu \cdot \vec{B} \cdot \sin \alpha$$

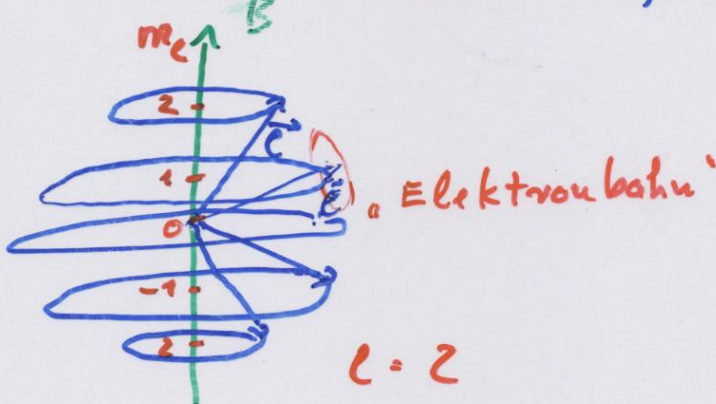
$$\Rightarrow \omega_L = \frac{\mu_B}{e} \quad \text{Larmorfrequenz}$$

$$= \frac{\mu_B}{e} \cdot B \quad (QN)$$

Drehimpulsquantelung =
diskrete Werte ℓ_z

$$\ell_z = m_e \cdot t_1 ; \quad m_e = 0, +1, +2, \dots, -\ell$$

$2\ell+1$ Möglichkeiten



Mefbar: Präzession: Komponenten
in x, y - Richtung mitteln
sich weg. Nur Komponente
 $\parallel \vec{B}$ ist meßbar.

Änderung der Drehimpulsrichtung $\parallel \vec{B}$:

Für $\Delta m_e = 1$:

$$\begin{aligned}\Delta V_{mag} &= -\Delta \mu_z \cdot \vec{B} \\ &= -\mu_B \cdot \Delta m_e \cdot \vec{B} \\ &= -\mu_B \cdot B \hat{=} -t_1 \omega_0\end{aligned}$$